

# Modélisation de solides déformables

# Plan

## **I. Présentation et première approche**

- A. Inspiration
- B. Étude d'un mouvement
- C. Première solution : les systèmes masse-ressort

## **II. Réalisation**

- A. Première méthode d'intégration : Euler
- B. Deuxième Méthode : procédé de Runge et Kutta
- C. Problème de la réaction du support

## **III. Deuxième approche**

- A. Modèle du gaz parfait
- B. Théorème de Stokes

# Présentation du problème et première approche

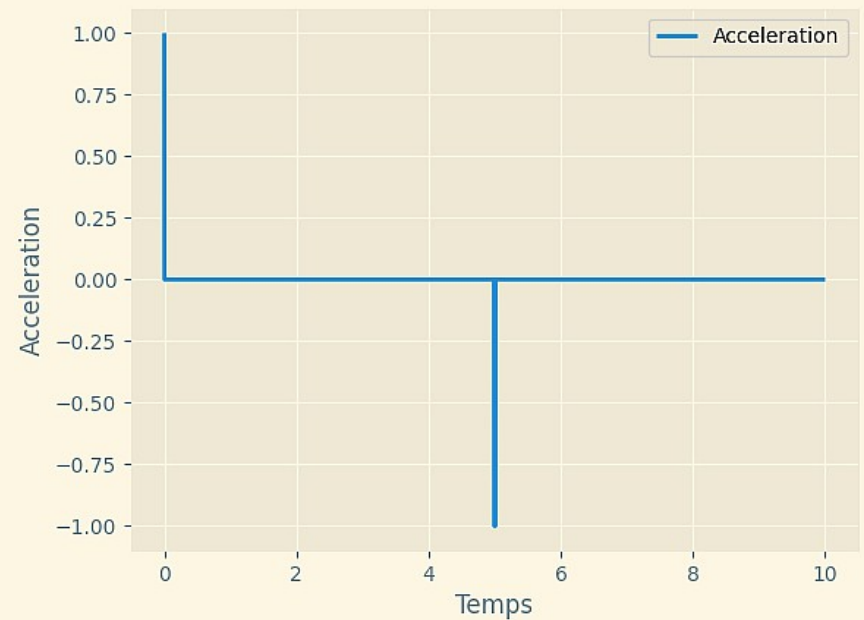
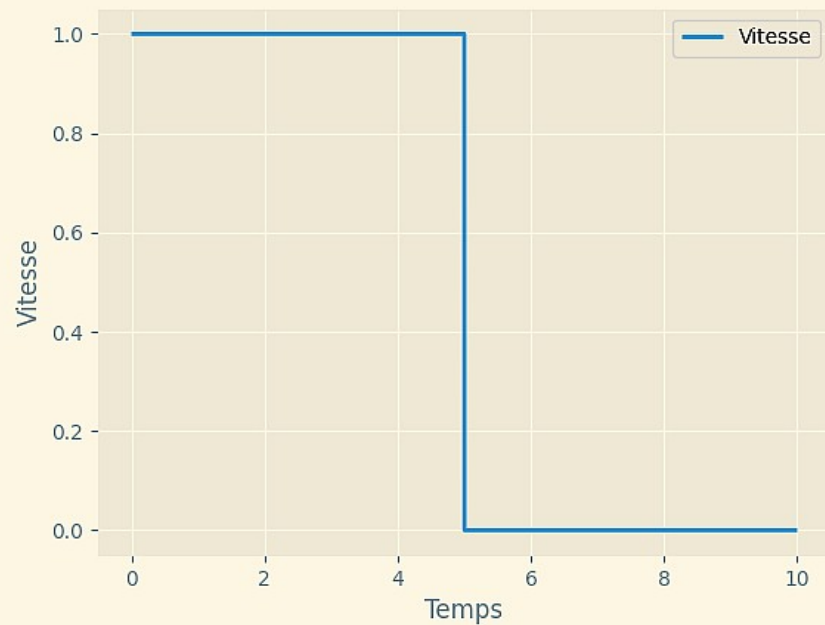
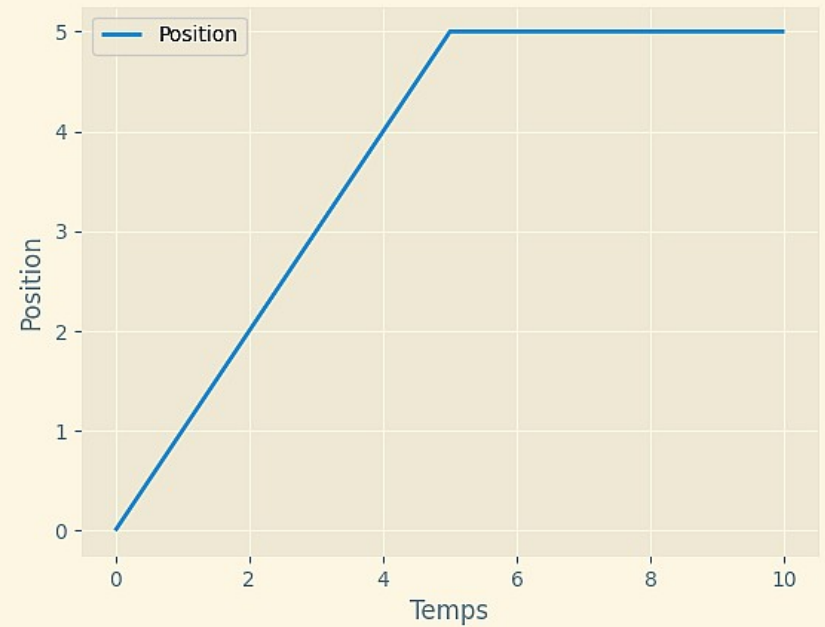
# Inspiration



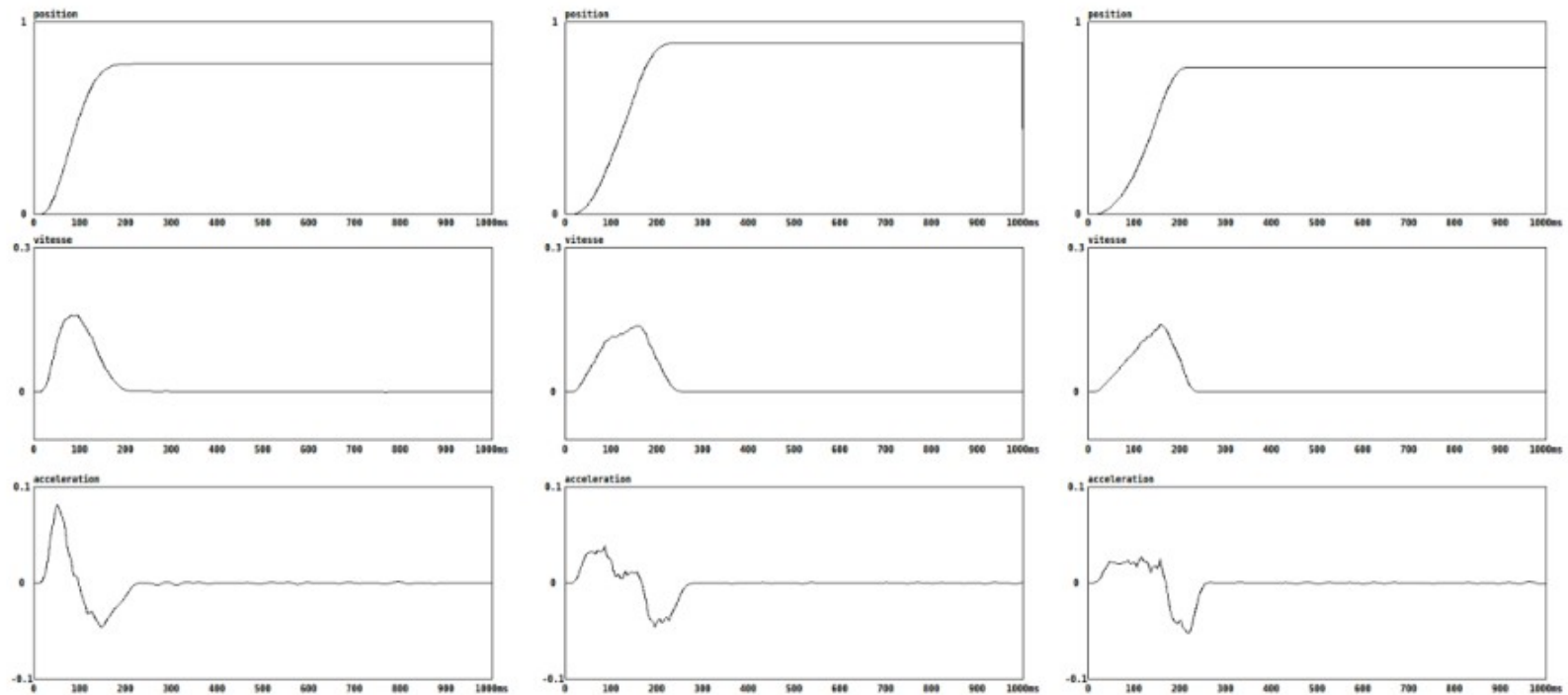
# Modélisation réaliste du mouvement



# Modèle informatique simple



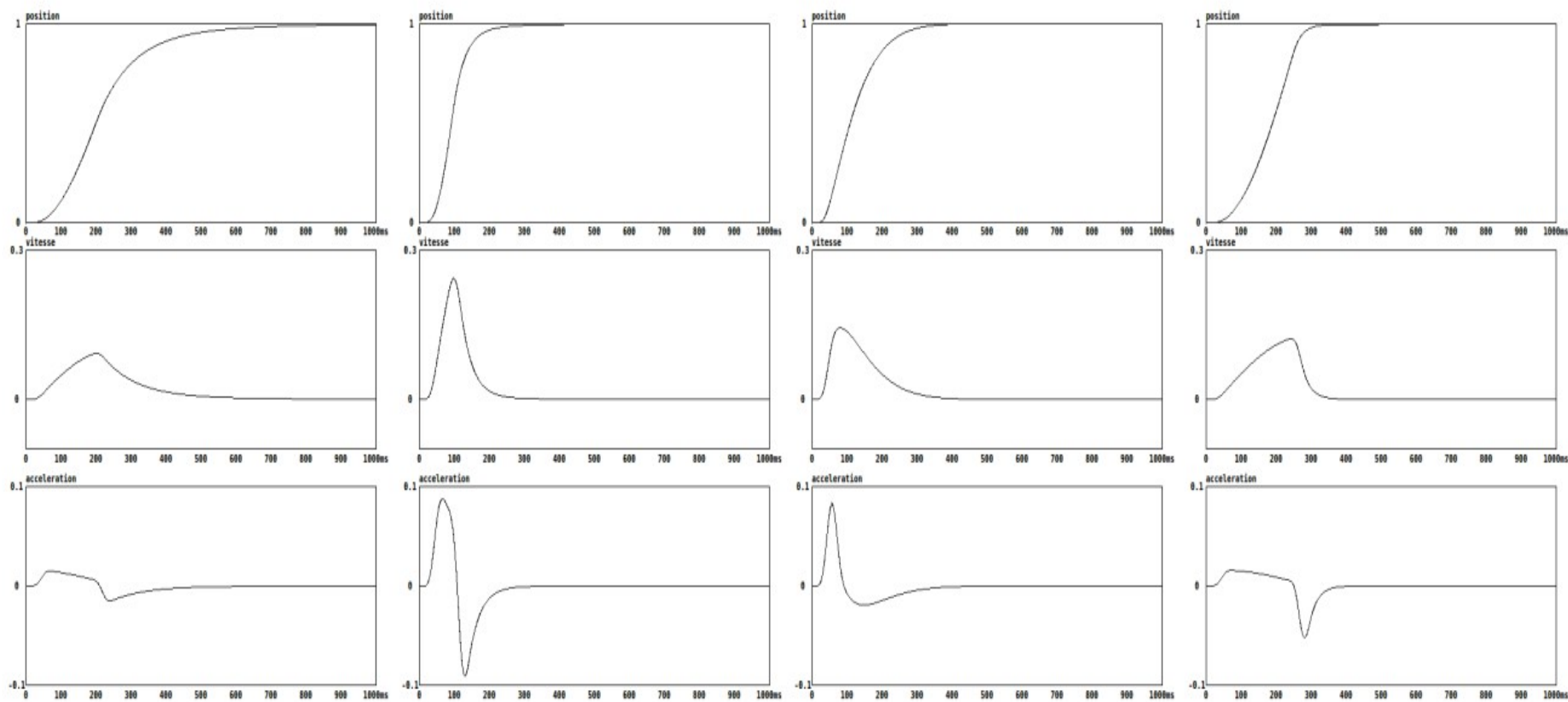
# Mouvements naturels



Mass-Spring-System model for real time expressive behaviour  
synthesis ~ Cyrille Henry



# Mouvements type Système masse-ressort



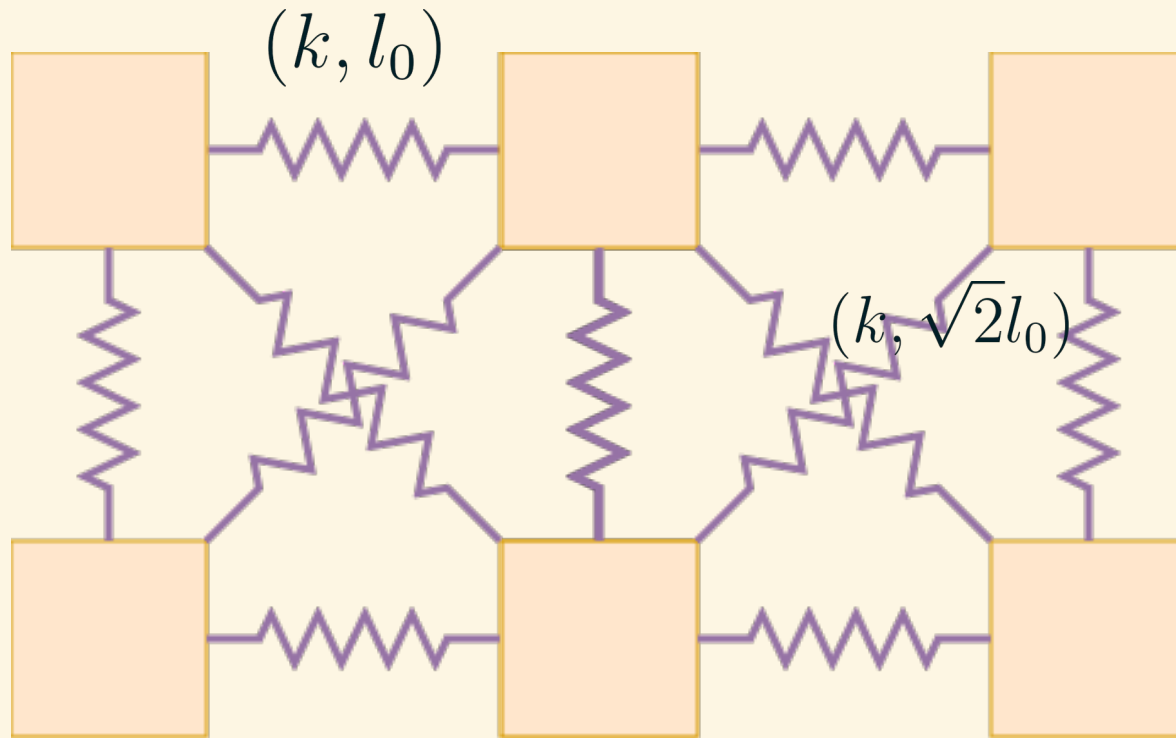
Mass-Spring-System model for real time expressive behaviour  
synthesis ~ Cyrille Henry

# Simplification



## II. Réalisation

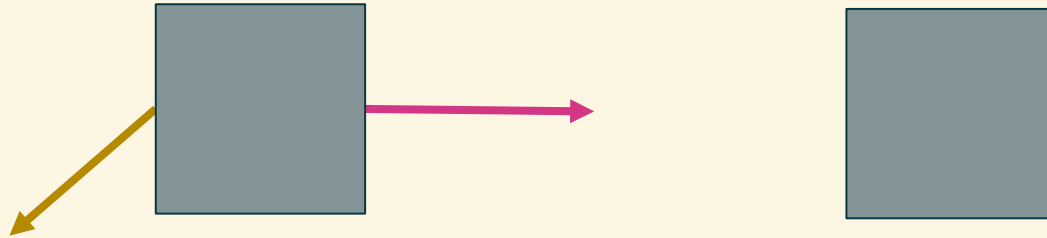
# Structure du système



# Méthode d'Euler

$$\vec{R} = k * (l - l_0) \vec{e}_x$$

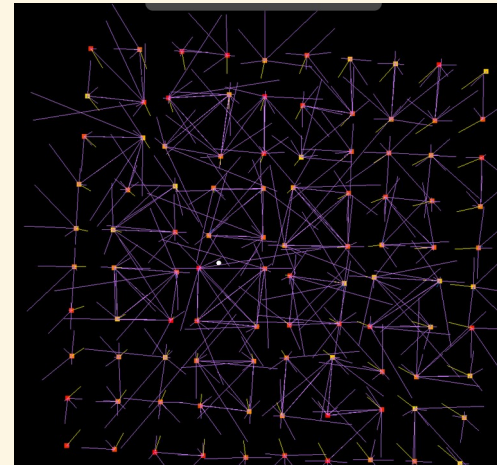
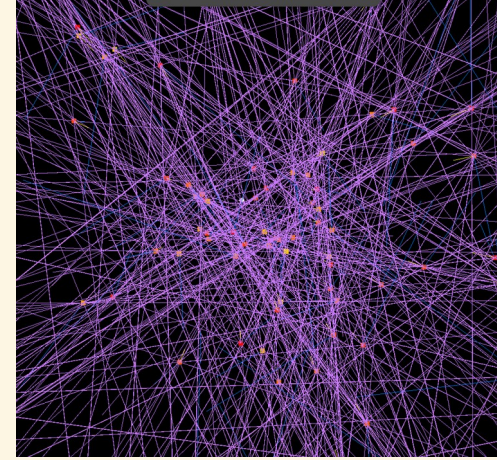
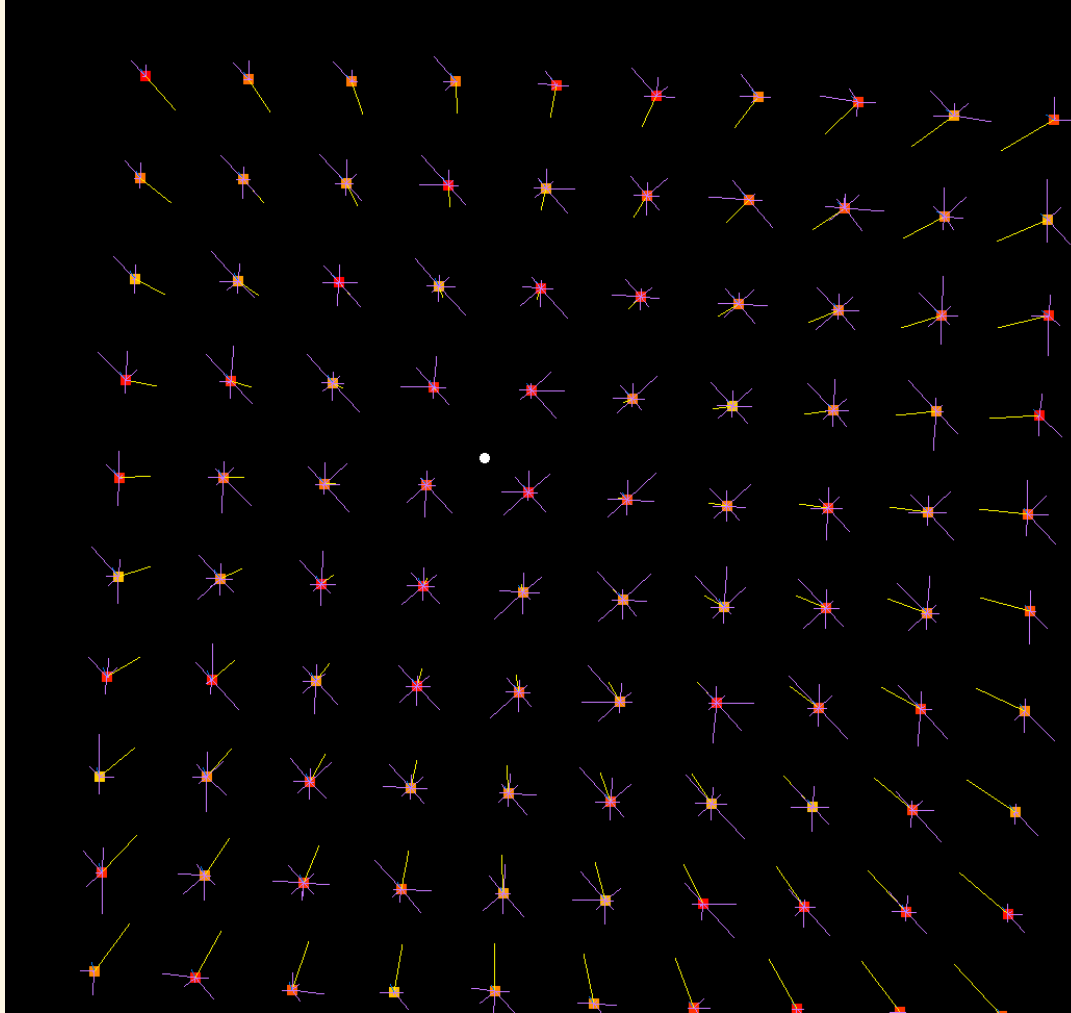
$$\vec{f} = -\alpha \vec{v}$$



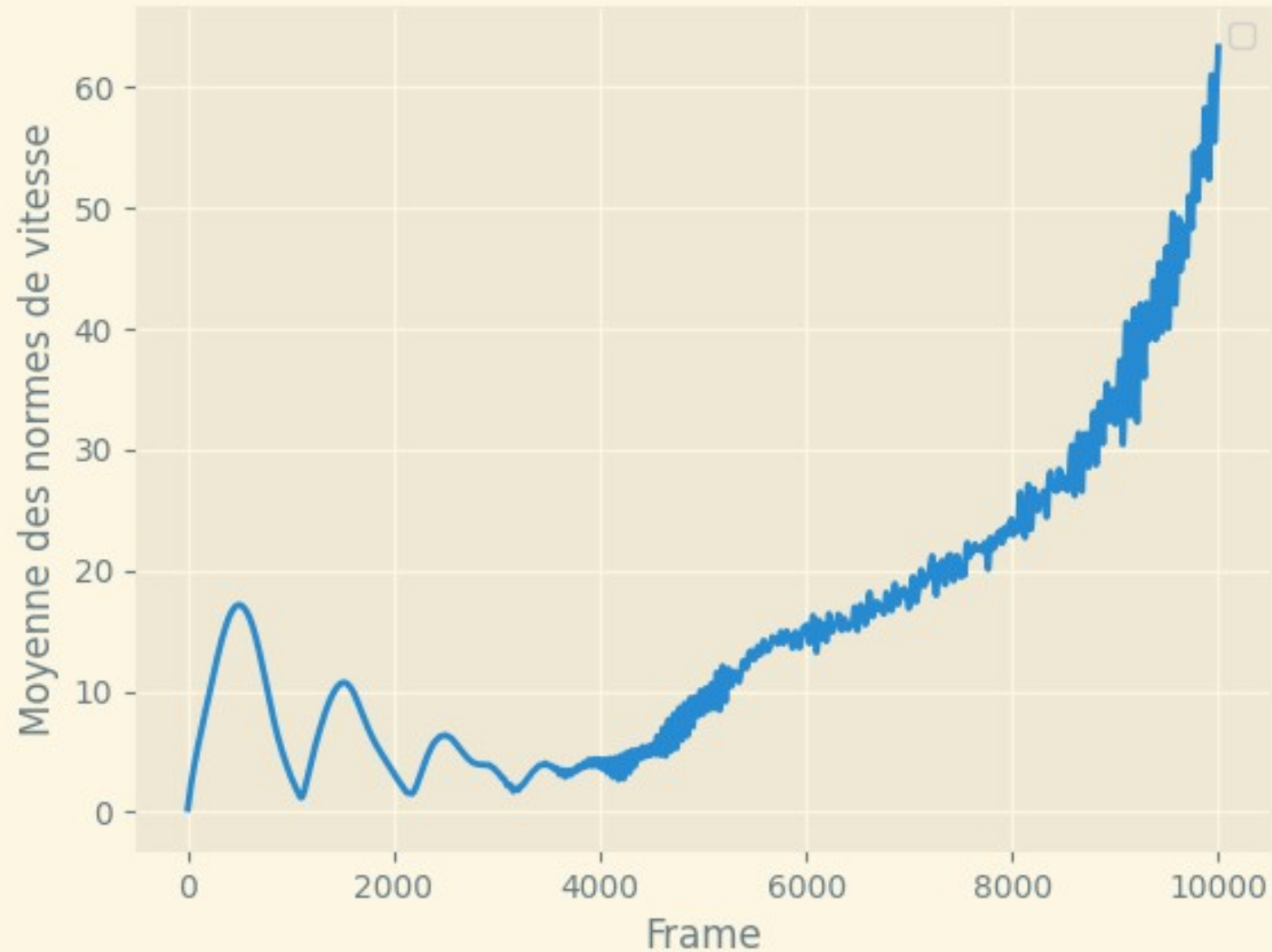
$$x[t + 1] = x[t] + v[t] * dt$$

$$v[t + 1] = v[t] + \text{acceleration}(t) * dt$$

# Premier algorithme



# Premier résultat



# Méthode de Runge-Kutta



# Approximation de Runge-Kutta

Problème de Cauchy à résoudre

$$\begin{cases} y'(t) = f(t, y) \\ y(t_0) = y_0 \end{cases}$$

$$t_{n,i} = t_n + c_i \times h$$

$$z(t_{n,i}) = z(t_n) + h \sum_{j < i} a_{i,j} f(t_{n,j}, z(t_{n,j}))$$

$$z(t_{n+1}) = z(t_n) + h \sum_{j \leq 4} b_j f(t_{n,j}, z(t_{n,j}))$$

Tableau des coefficients

$(c_i)$					
0	0	0	0	0	$(a_{i,j})$
$\frac{1}{2}$	$\frac{1}{2}$	0	0	0	
$\frac{1}{2}$	0	$\frac{1}{2}$	0	0	
1	0	0	1	0	
	$\frac{1}{6}$	$\frac{1}{3}$	$\frac{1}{3}$	$\frac{1}{6}$	$(b_j)$

# Approximation de Runge-Kutta

Problème différentiel physique

$$\begin{cases} y'' = \text{acc}(t, y, y') \\ y'(t_0) = y'_0 \\ y(t_0) = y_0 \end{cases}$$

On pose alors :

$$Y(t) = \begin{pmatrix} y'(t) \\ y(t) \end{pmatrix}$$

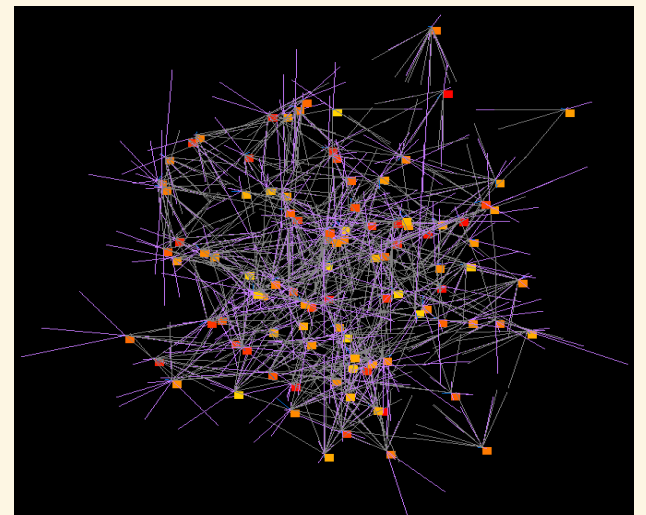
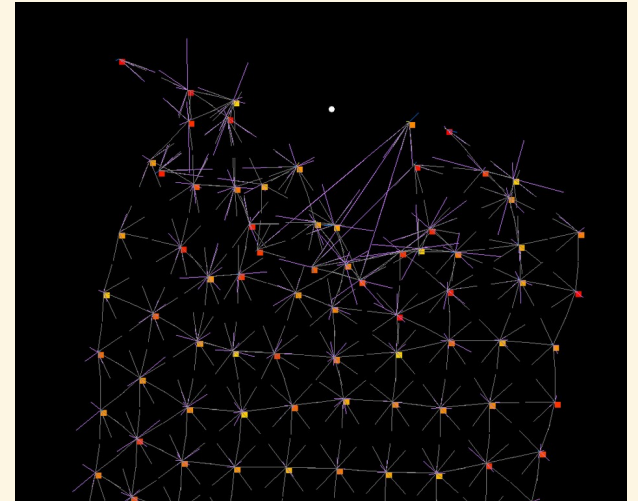
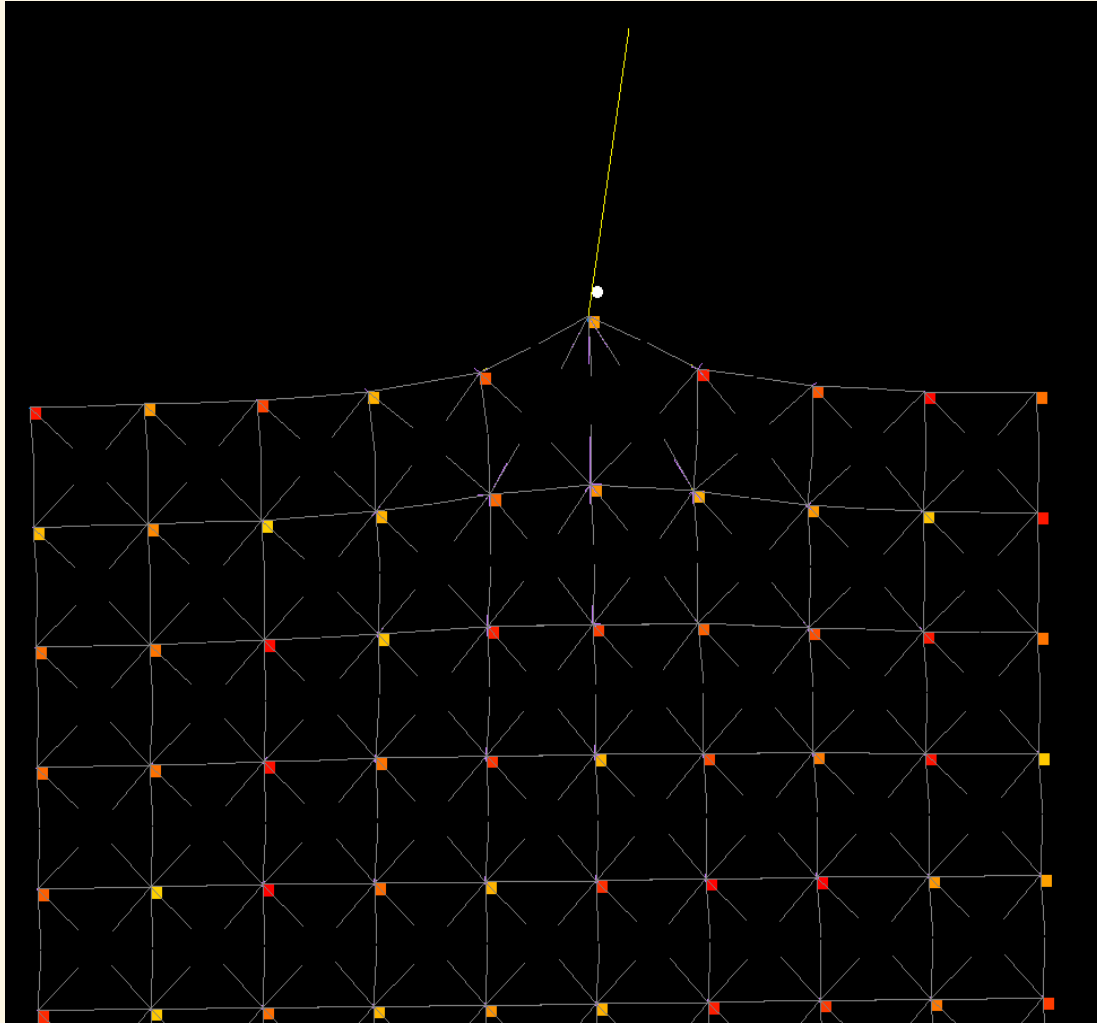
$$Y(t_0) = \begin{pmatrix} y'_0 \\ y_0 \end{pmatrix}$$

$$\text{d'où } Y'(t) = \begin{pmatrix} y''(t) \\ y'(t) \end{pmatrix} = F(t, Y) = \begin{pmatrix} \text{acc}(t, y, y') \\ y'(t) \end{pmatrix}$$

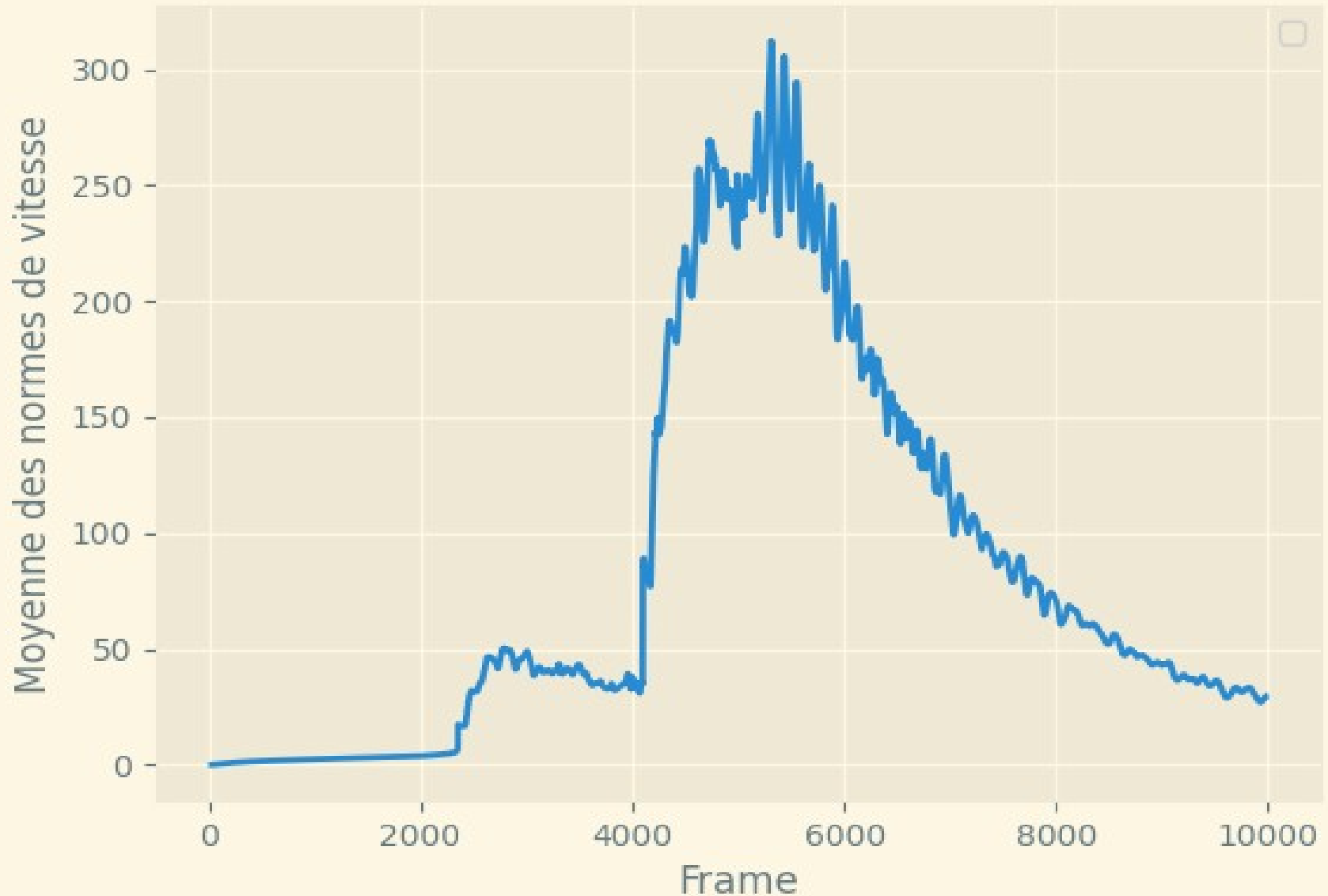
On a alors le problème de Cauchy  
d'ordre 1 :

$$\begin{cases} Y'(t) = F(t, Y) \\ Y(t_0) = Y_0 \end{cases}$$

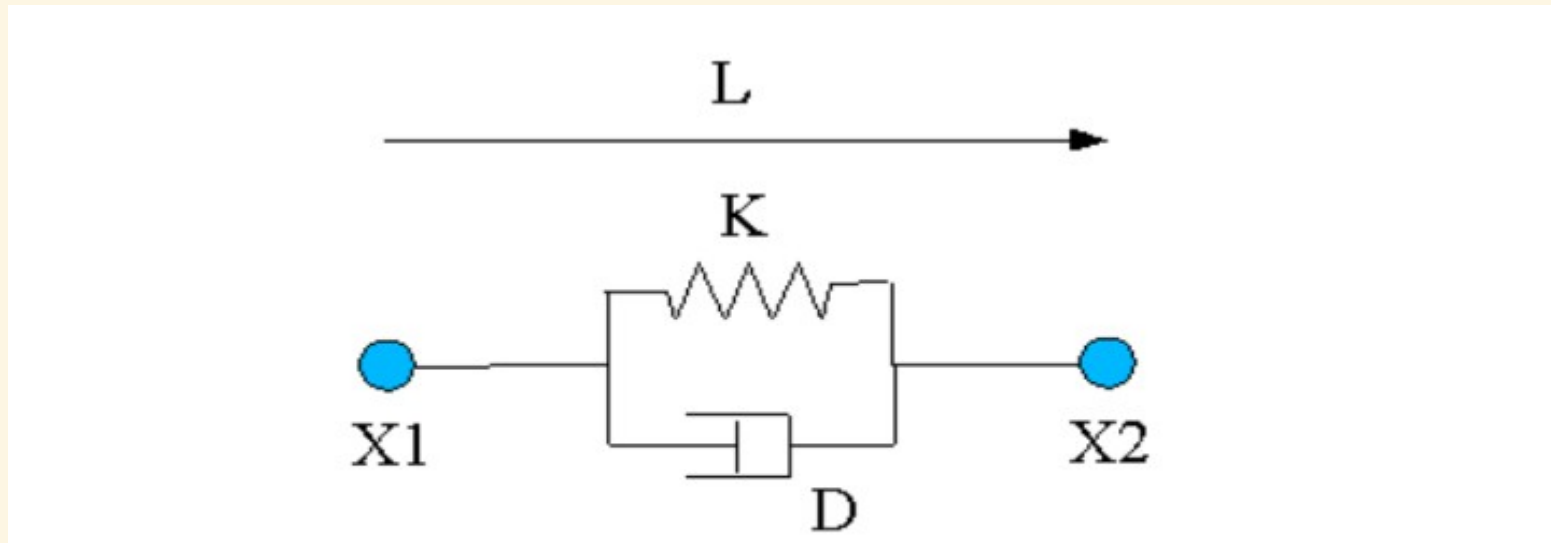
# Expérimentation



# Résultat de la simulation avec RK4

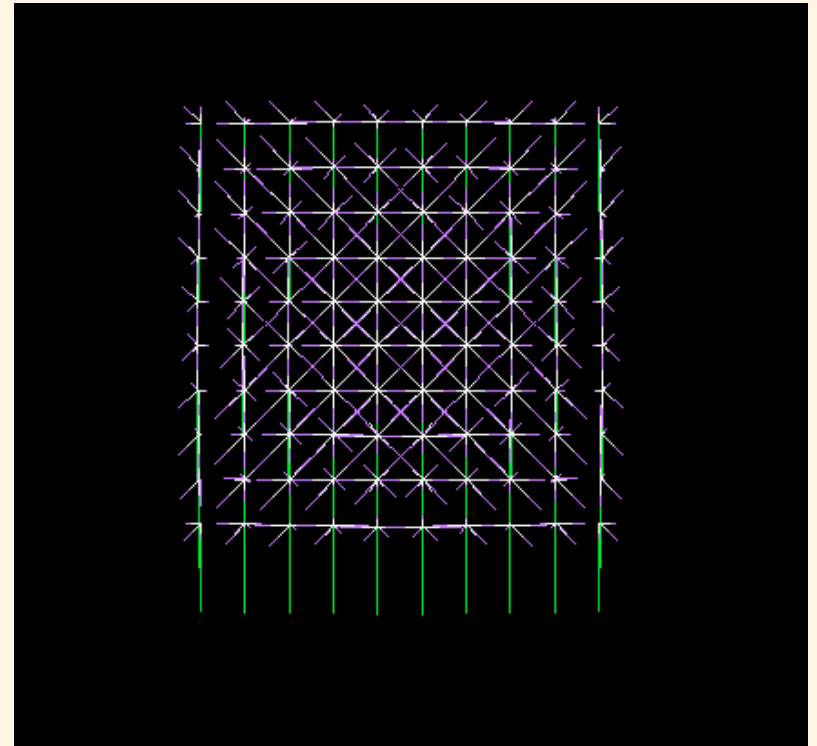
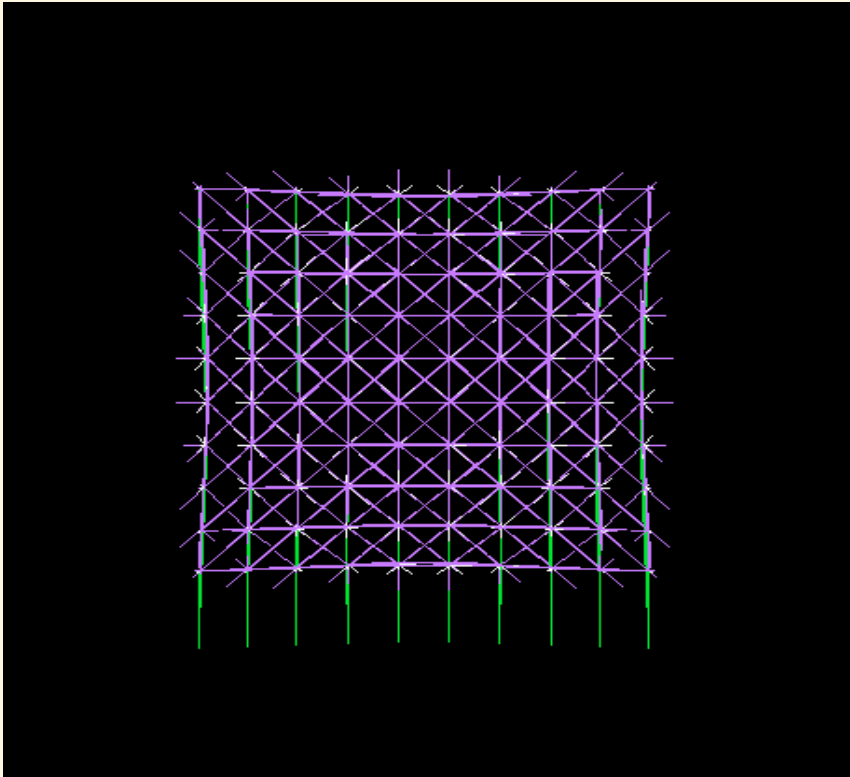


# Nouvelle description du système



Mass-Spring-System model for real time expressive behaviour  
synthesis ~ Cyrille Henry

# Effet de respiration



gravité

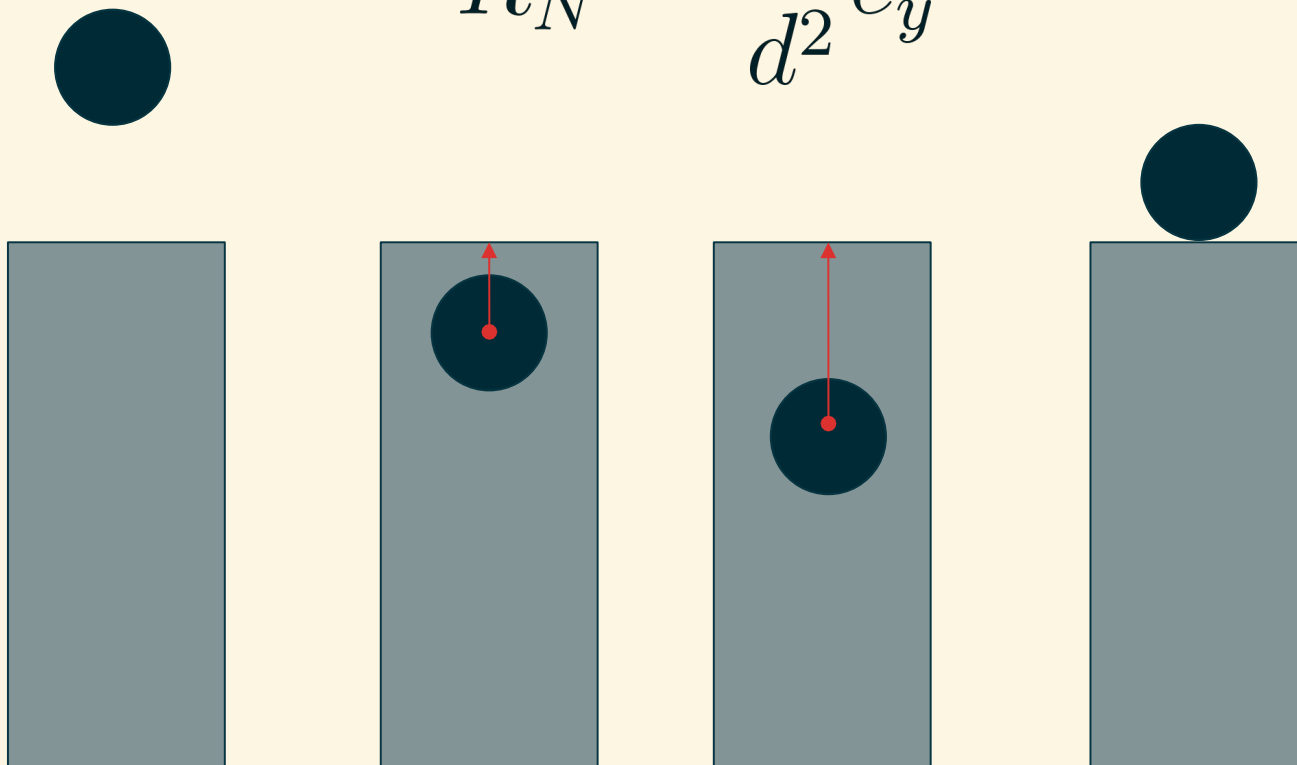
frottement  
amortisseur

force de ressort  
élastique

# Collisions

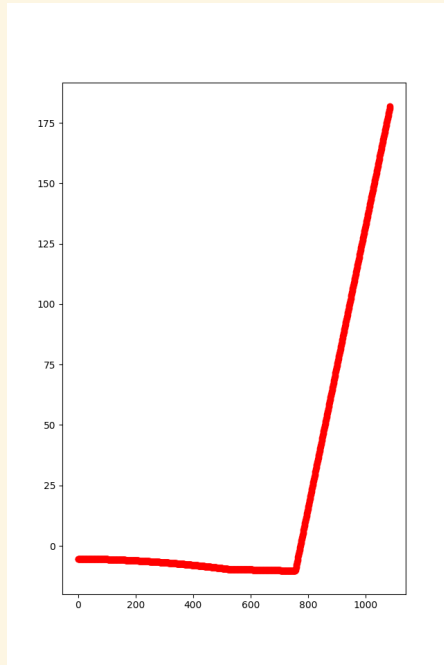
# Collision “magnétique”

$$\vec{R}_N = \frac{K}{d^2} \vec{e}_y$$

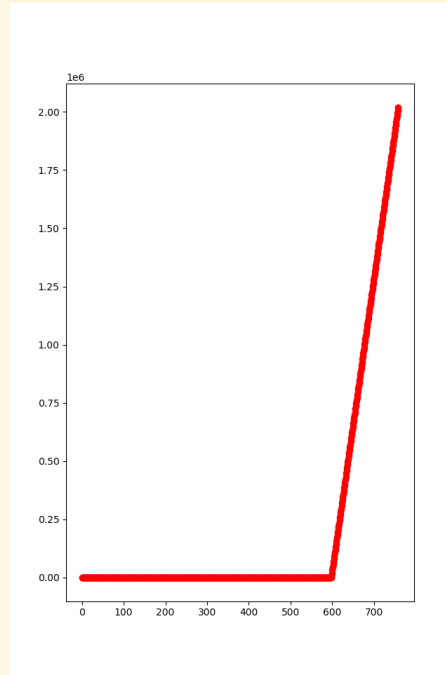




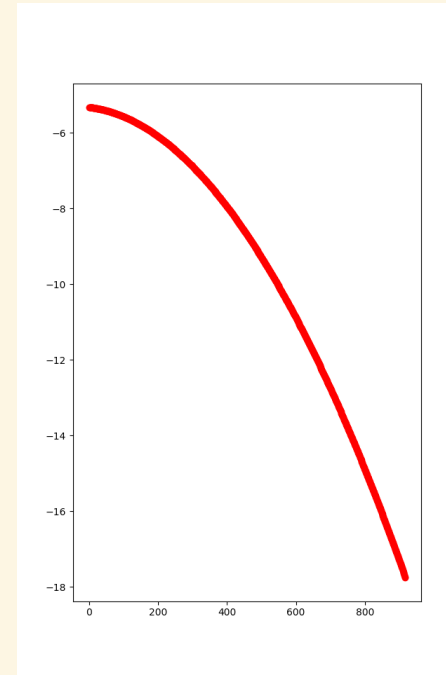
# Résultats pour différentes valeurs de K



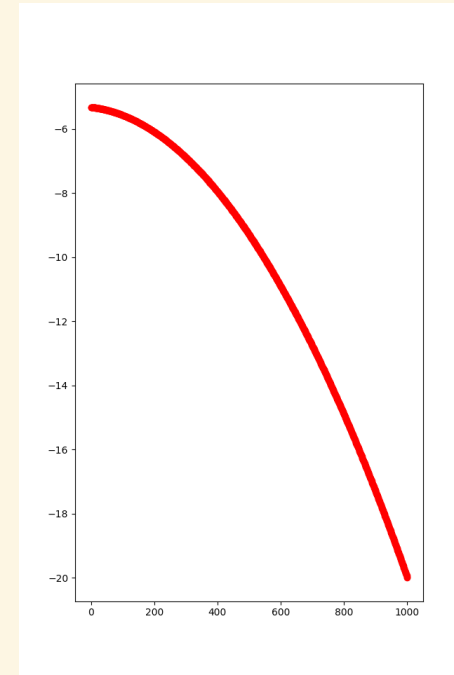
$K = 1.0$



$K = 1.0e - 1$



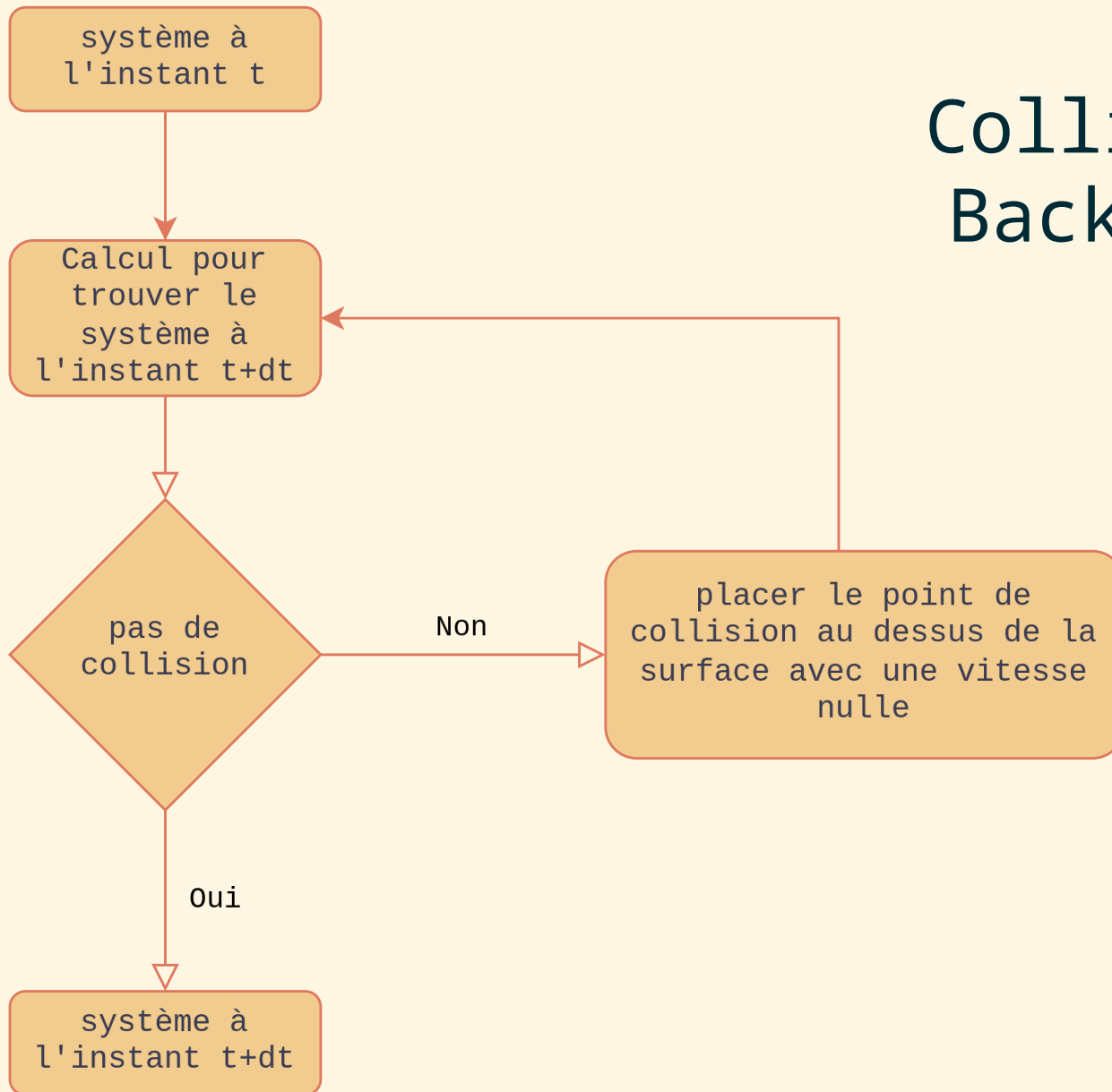
$K = 1.0e - 2$



$K = 1.0e - 4$

Position moyenne verticale en fonction du temps

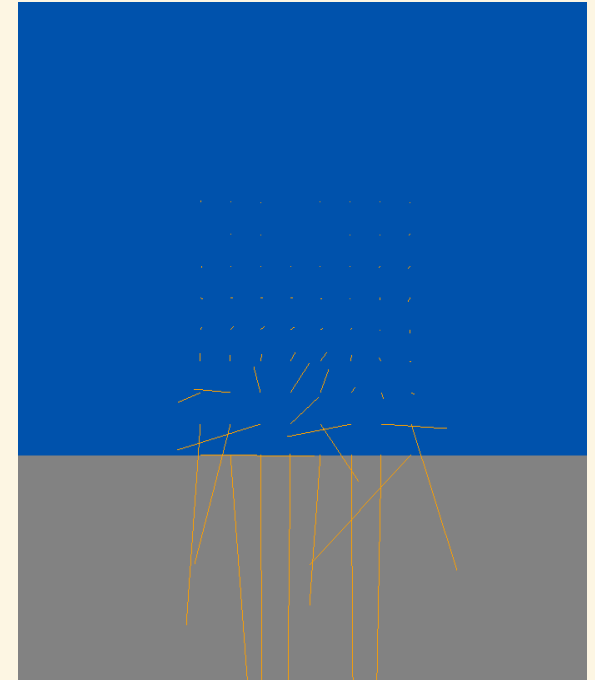
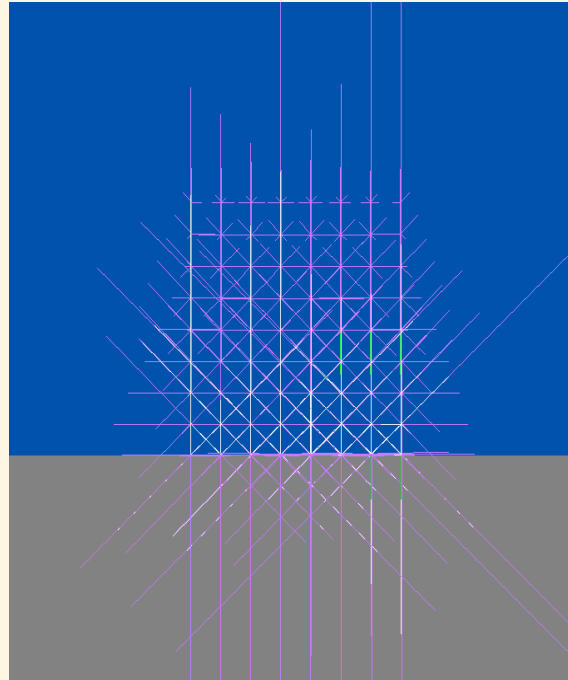
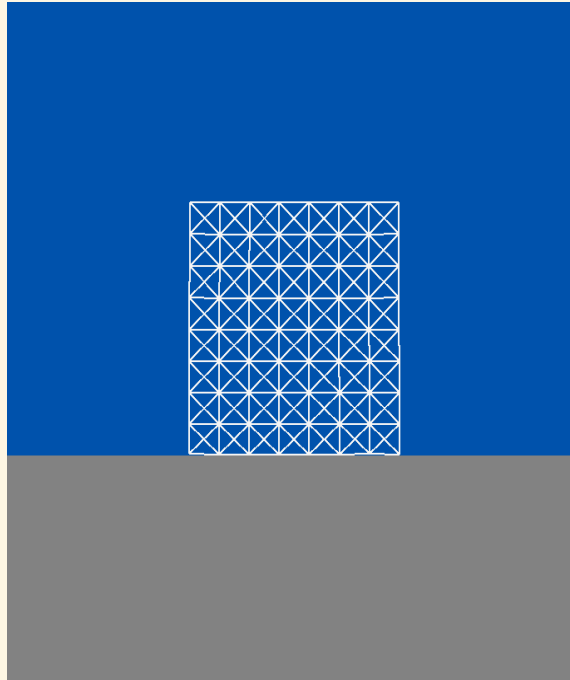
# Collision via Backtracking



# Résultats

forces

accélération



gravité

frottement de  
l'amortisseur

force de ressort  
élastique

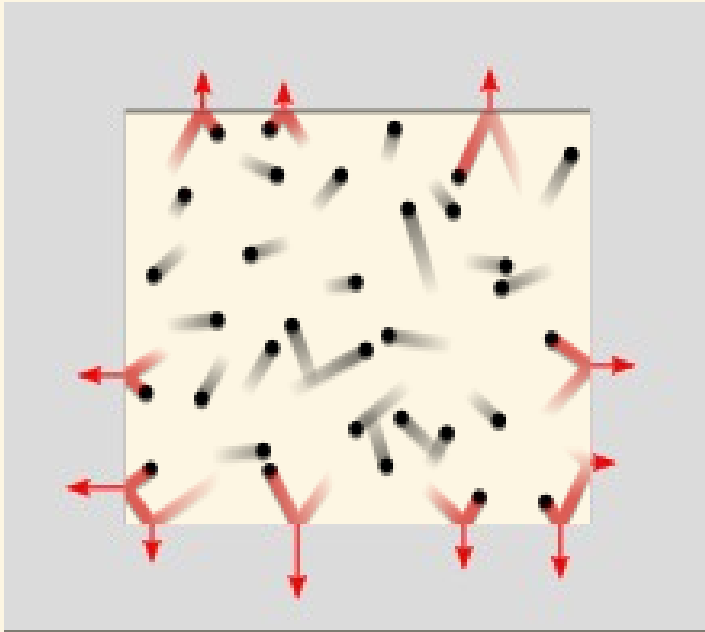
## Problèmes :

- Nombreux calculs de remplacement
- Imprécision sur les points à la surface

→ Diminuer le nombre de points à la surface

# III. Deuxième approche

# Modèle du gaz parfait



$$\vec{F} = P d\vec{S}$$

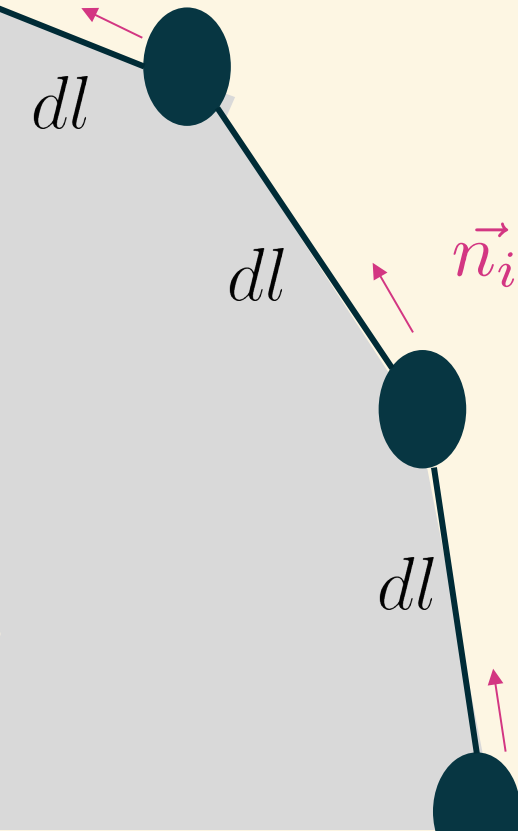
$$P = \frac{nRT}{V}$$

$$\vec{F} = K nRT \frac{1}{V} d\vec{S}$$

# Calcul du volume

Théorème de Stokes :

$$\boxed{\iint_S \operatorname{div} \vec{F} \cdot d\vec{S} = \oint_C \vec{F} \cdot d\vec{l}}$$

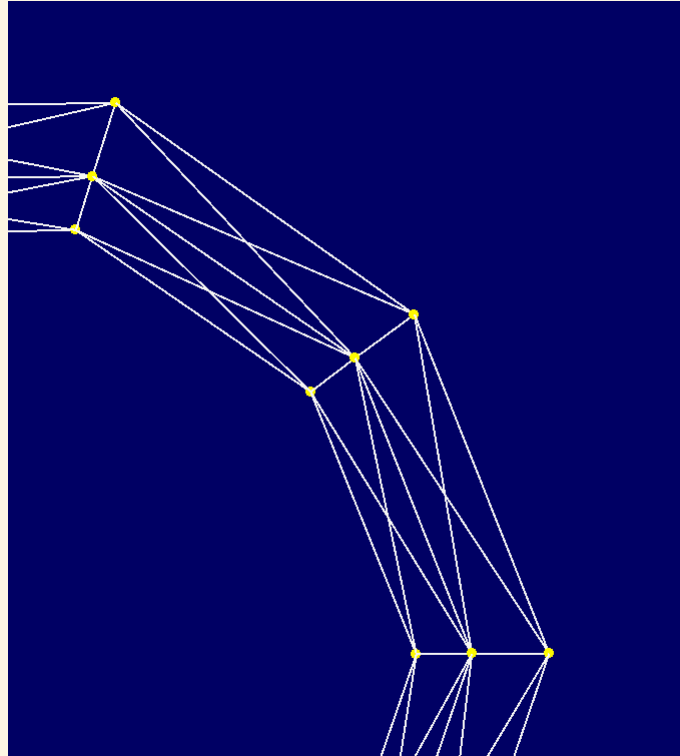


$$\vec{F} = x\vec{e}_x$$

$$\iint_S \operatorname{div} \vec{F} \cdot d\vec{S} = S \quad \left| \begin{array}{l} \vec{F} \cdot d\vec{l} \\ \operatorname{div} \vec{F} = 1 \\ = \vec{F} \cdot \vec{n} dl \\ = x \cdot n_x \cdot dl \end{array} \right.$$

$$S \approx \sum x_i \cdot n_i \cdot dl$$

# Compromis ressort/gaz

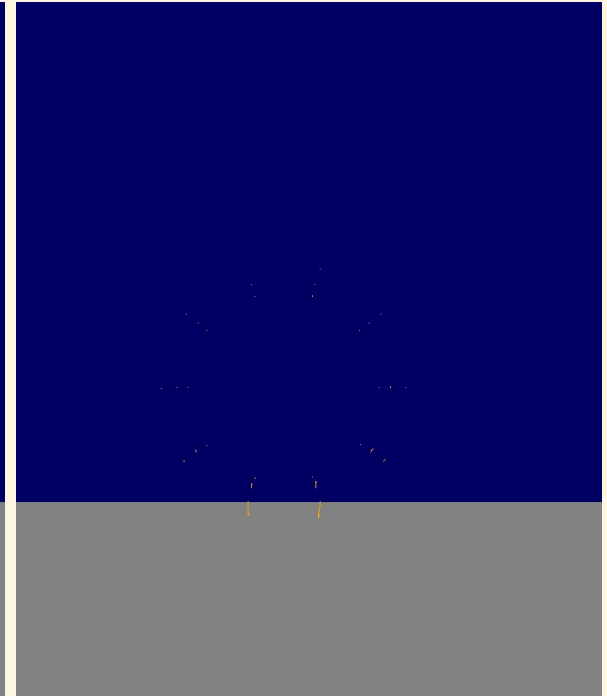
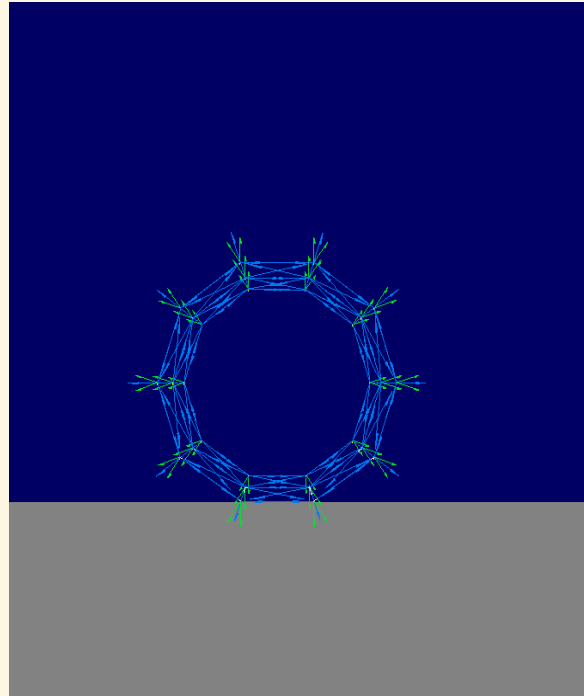
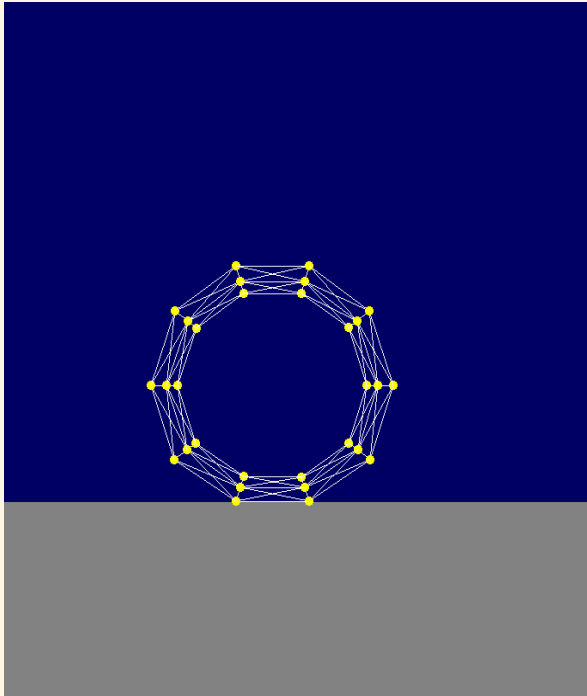




# Résultat

forces

accélération

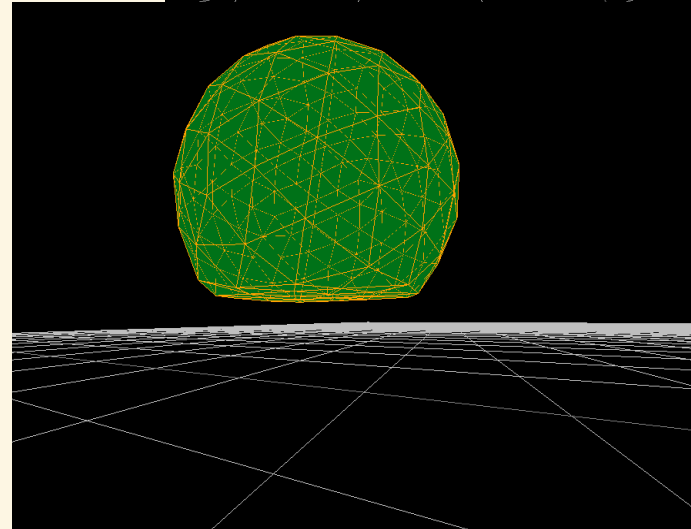
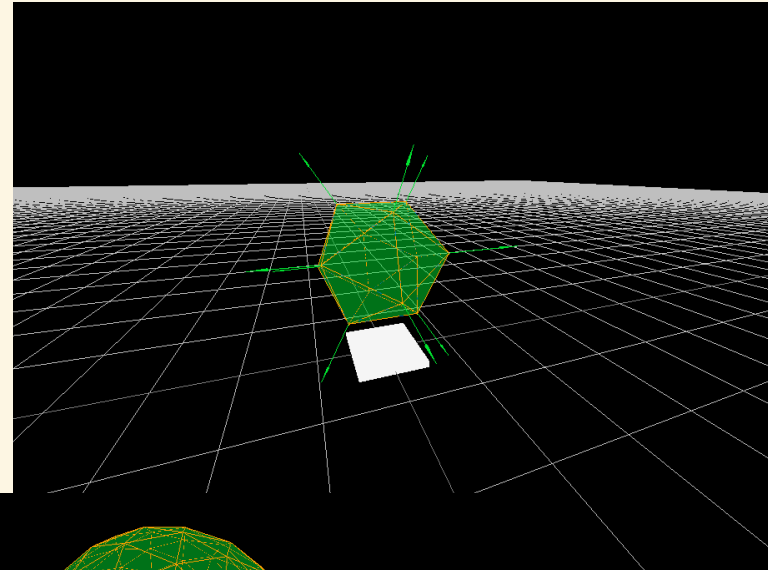
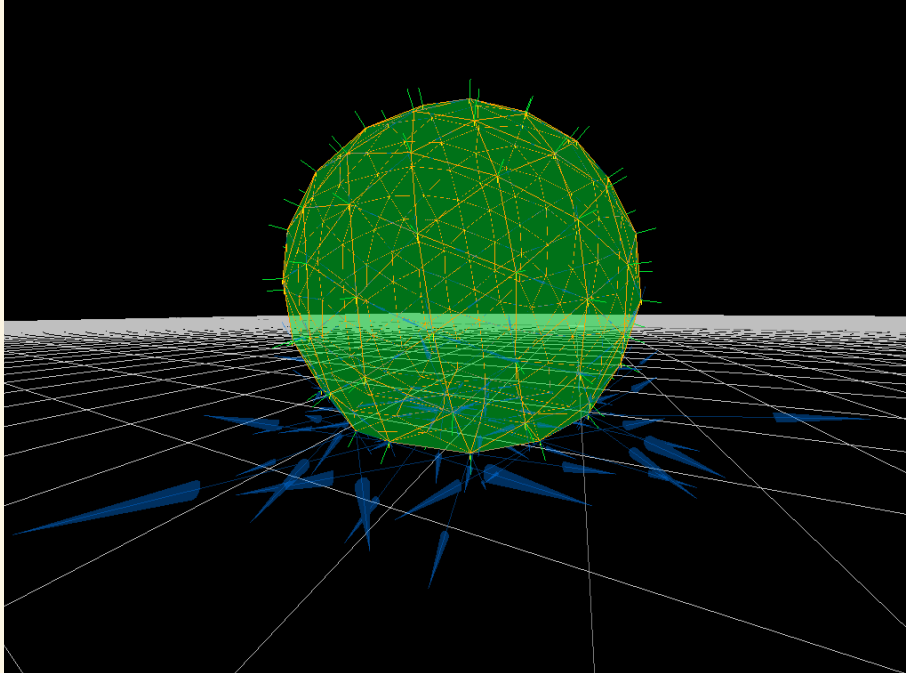


gaz

gravité

force de ressort  
élastique

# Extrapolation en 3 dimensions



# Annexe 1